УДК 66-9-944

ХИМИЧЕСКАЯ ТЕХНОЛОГИЯ

Академик К. А. АНДРИАНОВ, В. З. БРОДСКИЙ, В. Г. ГОРСКИЙ, А. М. КРУГЛИКОВ, К. С. СИДОРЕНКО, Л. М. ХАНАНАШВИЛИ

ИССЛЕДОВАНИЕ ЛЕГИРОВАНИЯ КРЕМНИЙОРГАНИЧЕСКИХ ПОЛИМЕРОВ С ИСПОЛЬЗОВАНИЕМ ОБОБЩЕННОГО КРИТЕРИЯ ОПТИМИЗАЦИИ — ФУНКЦИИ ЖЕЛАТЕЛЬНОСТИ

При решении различных технологических задач возникает необходимость в создании единого признака, количественно отражающего качество продукта, характеризующегося рядом свойств. Одним из наиболее удачных подходов к решению данной задачи, на наш взгляд, является использование обобщенного критерия оптимизации — функции желательности (1).

В дапной работе сделана попытка использовать функцию желательности при исследовании легирования модельного полидиметилметилвинилсилоксанового полимера с активными функциональными группами (2). В качестве легирующей добавки был использован дигидроксиполиорганосилоксан. Кроме того, варьировалось количество вводимой в полимер двуокиси кремния.

В качестве факторов, влияющих на процесс, были выбраны: X_1 — количество SiO_2 , вес. ч.; X_2 — количество олигомера, вес. ч. В качестве параметров оптимизации приняты следующие показатели: η_1 — твердость по Шору после II стадии вулканизации; η_2 — сопротивление раздиру, кг/см; η_3 — относительное удлинение после 50 час. старения при 280°; η_4 — сопротивление разрыву, кг/см². Было решено отыскивать область наилучших значений параметров оптимизации при помощи симплексного метода (3 , 4) при следующих ограничениях на факторы X_1 и X_2 : $X_{1 \, \mathrm{min}}$ = $50 \leqslant X_1 \leqslant 60 = X_{1 \, \mathrm{max}}$; $X_{2 \, \mathrm{min}}$ = $2.5 \leqslant X_2 \leqslant 7.5 = X_{2 \, \mathrm{max}}$.

Исходный симплекс-план в именованных переменных имел вид (⁵):

$$D_{X} \left| egin{array}{ccc} {}^{\dagger}X_{1} & X_{2} \ 57,32 & 2,5 \ 50 & 6,16 \ 60 & 7.5 \end{array}
ight| .$$

Для оценки свойств исследуемых композиций нами была использова- на так называемая функция желательности (1):

$$D = \left(\prod_{i=1}^{n} d_i\right),\,$$

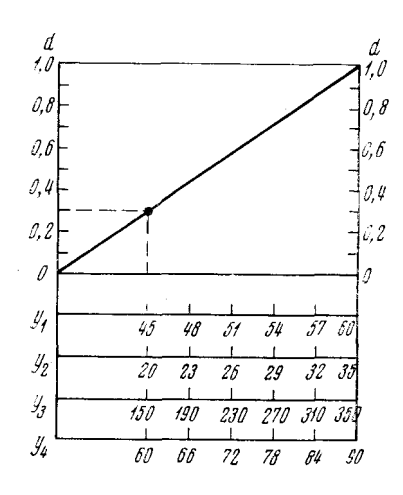
где d_i — частный коэффициент желательности, относящийся к наблюдавшемуся значению i-го параметра оптимизации Y, n — число параметров оптимизации.

Для расчета частных коэффициентов желательности нами была взята шкала желательности, приведенная в работе (6). График для определения коэффициентов желательности, построенный с учетом этой шкалы, приведен на рис. 1.

В табл. 1 представлены условия проведения 5 опытов, соответствующих симплекс-процедуре. Там же приведены значения параметров оптимизации Y_1 , Y_2 , Y_3 , Y_4 , соответствующие η_4 , η_2 , η_3 , η_4 , а также значения частных и общих коэффициентов желательности. Эти опыты, а также

фиктивные опыты 6 и 7, которые не были реализованы по технологическим соображениям, показаны на рис. 2.

В окрестности точки 5 (лучшей по результатам 1 серии опытов) был поставлен план 2-го порядка типа B_2 , близкий по статистическим свойст-



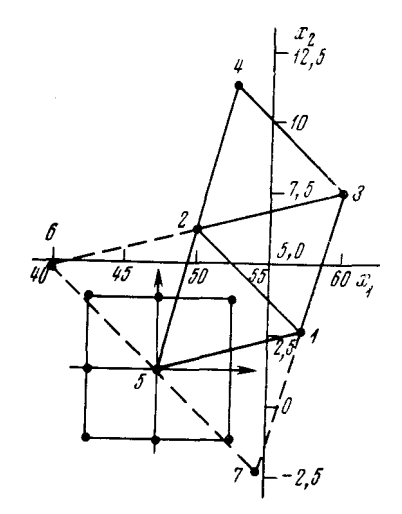


Рис. 1. График для определения коэффициентов желательности

Рис. 2. Поиск области оптимума симплексным методом и план 2-го порядка

вам D — оптимальному плану (7) в области, ограниченной следующими значениями факторов:

$$45 \leqslant X_1 \leqslant 50; \quad 0 \leqslant X_2 \leqslant 2,4.$$

Этот план записан в табл. 2 в переменных x_1 и x_2 , связанных с X_1 и X_2 формулой перехода

$$x_1 = (X_1 - 47.5) / 2.5;$$
 $x_2 = (X_2 - 1.2) / 1.2.$

Там же приведены результаты опытов. Обработка этих данных, проведенная методом наименьших квадратов по формулам из $(^s)$, дала следующие регрессионные зависимости:

$$\hat{Y}_1 = 49,2353 + 2,7000 \quad x_1 + 0,1000 \quad x_2 - 0,3750 \quad x_1 x_2 - 1,8529 \quad x_1^2 + 1,1471 \quad x_2^2;$$

$$\hat{Y}_2 = 28,4824 + 0,7900 \quad x_1 + 2,7500 \quad x_2 - 0,4625 \quad x_1 x_2 - 1,3735 \quad x_1^2 - 2,3735 \quad x_2^2;$$

$$\hat{Y}_3 = 323,5294 - 8,2000 \quad x_1 + 67,2000 \quad x_2 - 3,000 \quad x_1 x_2 - 16,2941 x_1^2 - 90,2941 \quad x_2^2;$$

$$\hat{Y}_4 = 78,2529 - 1,1600 \quad x_1 - 1,4900 \quad x_2 - 0,7500 \quad x_1 x_2 - 0,9294 \quad x_1^2 + 2,72061 \quad x_2^2;$$

$$D = 0,6847 + 0,0300 \quad x_1 + 0,0940 \quad x_2 - 0,0570 \quad x_1^2 - 0,0770 \quad x_2^2.$$

Для параметров Y_2 и Y_3 и D линии уровня представляют собой эллипсы, а для Y_4 , Y_4 — гиперболы.

На рис. З представлены совмещенные линии уровней $\hat{Y}_1(x_1x_2)$, $\hat{Y}_2(x_1x_2)$, $\hat{Y}_3(x_1x_2)$, $\hat{Y}_4(x_1x_2)$. Область оптимальных значений ограничена следующими условиями: $\eta_1 \ge 50$; $\eta_2 \ge 29$; $\eta_3 \ge 300$; $\eta_4 \ge 78$.

Таблица 1

№ опыта	X_1	X ₂	Y_{i}	Y_2	Y-3	Y_4	d_1	d_2	d_3	d4	D
1 2 3 4 5	57,32 50 60 52,68 47,32	2,5 6,16 7,5 11,6 1,16	60 50 60 50 50	22,8 29,2 30,2 33,5 28,9	154 250 154 302 294	74,2 73,9 63,7 62,2 77,9	$\begin{bmatrix} 4 \\ 0,54 \\ 1 \\ 0,54 \\ 0,54 \end{bmatrix}$	$\begin{bmatrix} 0,43 \\ 0,73 \\ 0,78 \\ 0,93 \\ 0,72 \end{bmatrix}$	$\begin{array}{c} 0,31 \\ 0,65 \\ 0,31 \\ 0,83 \\ 0,8 \end{array}$	$\begin{array}{c} 0,63 \\ 0,62 \\ 0,39 \\ 0,35 \\ 0,72 \end{array}$	

Нами было проведено сравнение обычного контурно-графического метода решения компромиссных задач и метода с использованием обобщенного критерия оптимизации — функции желательности.

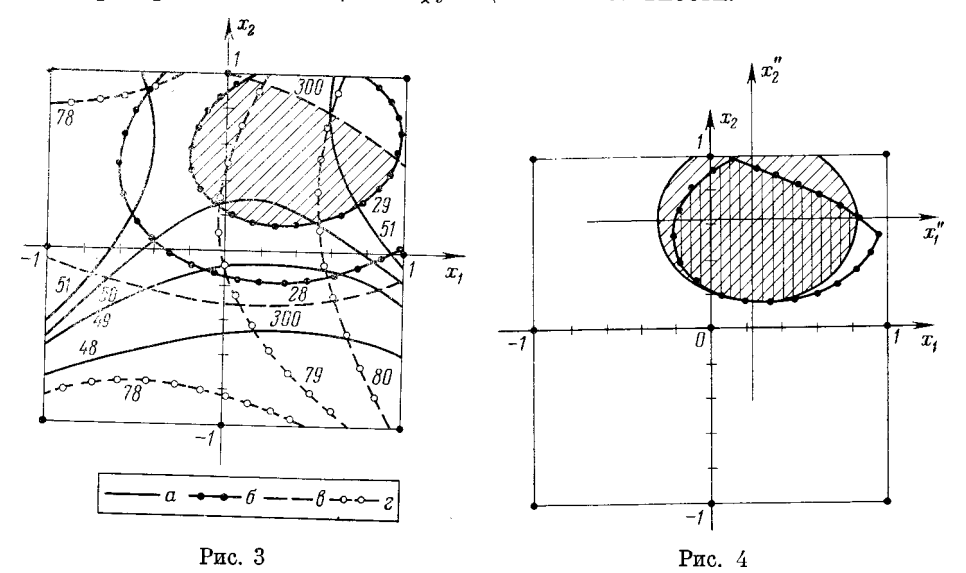


Рис. 3. Совмещенные линии уровней параметров оптимизации в зависимости от количества двуокиси кремния и олигомера. а—твердость по Шору; б—сопротивление раздиру, кг/см; в—относительное удлинение, %; г—сопротивление разрыву, кг/см² Рис. 4. Условный оптимум функции желательности и область компромиссного оптимума, полученная контурнографическим методом

Степень совпадения оптимальных областей, полученных этими двумя методами, хорошо иллюстрируется рис. 4. На этом рисунке область, полученная обычным контурно-графическим методом, не заштрихована. На-

Таблица 2

Г. № Опыта	x_2	x_2	<i>X</i> ₁	X 2	Yı	Y_2	Y_3	Y_4	d_1	d_2	d_3	d_4	D
1 2 3 4 5 6 7 8 9 10 11 12	-1 -1 -1 -1 1 1 0 -1 0	-1 -1 -1 -1 -1 -1 -1 -1 -1 -1 -1 -1 -1 -	45 45 45 45 50 50 50 47,5 47,5 47,52 47,5	0 0 2,4 2,4 2,4 2,4 0 0 0 1,2 2,4 1,2	46 45 47 46 50 52 51 52 50 44 50 50	22,5 21,8 26,1 26,3 28,2 28,5 22,6 22,1 28,1 29,7 28,4 28,9	150 154 274 290 268 269 149 152 160 348 536 296 294	80,1 83,6 80,3 81,4 76,2 77,1 81,0 80,4 78,0 78,8 77,0 77,9	0,35 0,30 0,39 0,35 0,58 0,63 0,53 0,53 0,53 0,53 0,53	0,42 0,38 0,59 0,60 0,68 0,70 0,43 0,40 0,55 0,76 0,69 0,73	0,30 0,31 0,74 0,79 0,72 0,30 0,30 0,33 0,99 0,95 0,81 0,80	0,77 0,85 0,77 0,80 0,68 0,70 0,49 0,78 0,685 0,72 0,74 0,70 0,72	$\begin{array}{c} 0,45 \\ 0,42 \\ 0,600 \\ 0,6 \\ 0,65 \\ 0,68 \\ 0,49 \\ 0,49 \\ 0,73 \\ 0,6 \\ 0,68 \end{array}$

Таблица 3*

Композиция	Т вердо с ть		σ,	0/		Старение 280°×100 час		
	по Шору	кг/см	KP/CM ²	Υ, %	Υ΄, %	σ, кг/см²	Y, %	٧′, %
Нелегированная Легированная	48 58	18 29	80 79	480 570	5 7	$\frac{39,7}{35,2}$	60 290	5 6

^{*} σ' — сопротивление раздиру, σ — сопротивление разрыву, γ — относительное удлинение, γ' — остаточное удлинение.

клонной штриховкой отмечена область, отвечающая условию D=0.7, а вертикальной— подобласть, общая для обеих описанных областей. Как видно из рис. 4, области оптимума, найденные этими двумя методами,

довольно хорошо совпадают.

На основании проведенной работы была получена легированная композиция (табл. 3), которая значительно превосходит исходную по стойкости к воздействию повышенных температур, имеет лучшее сопротивление раздиру и большую твердость при несколько меньшем сопротивлении разрыву.

Московский институт тонкой химической технологии им. М. В. Ломоносова

Поступило 28 III 1972

ЦИТИРОВАННАЯ ЛИТЕРАТУРА

¹ Е. С. Наггіпд ton, Ind. Qual. Control., 21, № 10, 494 (1965). ² К. А. Андрианов, Изв. АН СССР, сер. хим., 1969, 123. ³ В. Г. Горский, В. З. Бродский, Зав. лаб., № 7, 831 (1965). ⁴ W. Spendley, G. R. Нехt, F. R. Нім sworth, Technometries, 4, 114, 489 (1962). ⁵ В. Г. Горский, В. З. Бродский, в сбори. Новые идеи в планировании эксперимента, «Наука», 1969. ⁶ С. W. Lowe, Trans. Inst. Chem. Eng., 45, 73 (1967). ⁷ Л. Ф. Андрукович, Т. И. Голикова, С. Г. Костина, в сбори. Новые идеи в планировании эксперимента, «Наука», 1969. ⁸ В. Г. Горский, В. З. Бродский, Информ. матер. Совета по кибернетике АН СССР, 8 (45), 1969.